

Отчет о выполнении работы №1.4.1  
Изучение экспериментальных погрешностей на  
примере физического маятника

Воейко Андрей Александрович, Б01-109

Долгопрудный, 2021

## 1 Аннотация.

В работе проверяется справедливость формулы для периода колебаний физического маятника, теоремы Гюйгенса, определяется ускорение свободного падения.

## 2 Теоретические сведения.

На рисунке 1 изображен стержень без груза. Момент инерции относительно точки подвеса вычисляется по формуле 1.

$$I_0 = \frac{m_0 l^2}{12} + m_0 a^2, \quad (1)$$

где  $I$  – момент инерции,  $l$  – длина стержня,  $m_0$  – масса стержня с призмой,  $a$  – расстояние от точки подвеса до центра масс.

Возвращающий момент силы тяжести равен:

$$M = -m_0 g a \sin \phi \approx -m_0 g a \phi. \quad (2)$$

Таким образом,

$$\frac{d^2 \phi}{dt^2} \sim -\phi.$$

Период колебаний можно найти по формуле 3.

$$T = 2\pi \sqrt{\frac{I}{m_0 g a}} = 2\pi \sqrt{\frac{\frac{l^2}{12} + a^2}{g a}} \quad (3)$$

Приведенная длина физического маятника  $l_{\text{пр}}$  (взята из  $T = 2\pi \sqrt{\frac{l}{g}}$ ):

$$l_{\text{пр}} = a + \frac{l^2}{12a}. \quad (4)$$

Расстояние от груза до центра масс  $x_{\text{ц}}$ :

$$x_{\text{ц}} = \frac{m_0 a + m_{\text{г}} y}{m_0 + m_{\text{г}}}, \quad (5)$$

где  $m_0$  – масса стержня с призмой,  $a$  – расстояние от центра масс без груза до призмы,  $m_{\text{г}}$  – масса груза,  $y$  – расстояние от призмы до ц. м. груза.

Поскольку груз имеет сложную форму, следует один раз вычислить  $x_{\text{ц}}$

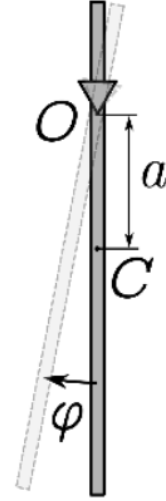


Рис. 1: Стержень в качестве физического маятника.

для первого измерения, а потом находить ее изменение по изменению  $y$  из формулы 5. Тогда апериод колебаний составит:

$$T = 2\pi \sqrt{\frac{I_0 + m_{\Gamma} y^2}{(m_0 + m_{\Gamma}) g x_{\text{ц}}}}. \quad (6)$$

Отсюда выводим  $g$ :

$$g = \frac{I_0 + m_{\Gamma} y^2}{(m_0 + m_{\Gamma}) x_{\text{ц}}} \cdot \frac{4\pi^2}{T^2} = \frac{4\pi^2}{T^2} \cdot \frac{m_0(\frac{l^2}{12} + a^2) + m_{\Gamma} y^2}{m_0 a + m_{\Gamma} y}. \quad (7)$$

### 3 Оборудование и экспериментальная установка.

#### 3.1 Используемое оборудование и погрешности его использования.

В работе используются:

- Штангенциркуль. Погрешность –  $\pm 0,01$  см.
- Линейка. Погрешность –  $\pm 0,1$  см.
- Счетчик. Погрешность –  $\pm 0,01$  с.
- Весы. Погрешность –  $\pm 0,1$  с.
- Металлический стержень.
- Дополнительный груз.
- Подставка с отсрой гранью для определения центра масс стержня.

#### 3.2 Вес и длина объектов.

Измерим массу стержня, призмы и груза. Также измерим длины этих объектов и расстояние от верхнего конца стержня до центра масс с призмой и без, а также расстояние от центра масс до точки подвеса (до нижнего края призмы). Результаты занесем в таблицу 1.

### 4 Результаты измерений и обработка данных.

#### 4.1 Результаты измерений.

##### 4.1.1 Предварительные измерения периода колебаний.

Проведем предварительные измерения периода колебаний. Для этого измерим время 20 колебаний, а затем поделим полученное значение на 20.

| Величина   | Значение        |
|--|-----------------|
| Масса стержня $m_{\text{ст}}$ , г                          | $869,8 \pm 0,1$ |
| Масса призмы $m_{\text{п}}$ , г                            | $74,9 \pm 0,1$  |
| Масса стержня с призмой $m_0$ , г                          | $944,7 \pm 0,2$ |
| Масса груза $m_{\text{г}}$ , г                             | $376,2 \pm 0,1$ |
| Длина стержня $l$ , см                                     | $100,1 \pm 0,1$ |
| Расстояние от центра масс до верхнего конца без призмы, см | $50,0 \pm 0,1$  |
| Расстояние от центра масс до верхнего конца с призмой, см  | $47,6 \pm 0,1$  |
| Расстояние от центра масс до призмы $a$ , см               | $25,7 \pm 0,1$  |

Таблица 1: Массы и длины исследуемых объектов.

$t_{\text{предв}} = 29,2 \pm 0,6$  с. Повторные измерения дали идентичный результат.

$T_{\text{предв}} = 1,46 \pm 0,03$  с

$y = 46,6$  см

По формуле 7 найдем  $g$ :

$$g = \frac{4 \cdot 3,14^2}{1,46^2} \cdot \frac{944,7 \cdot \left(\frac{1,001^2}{12} + 0,257^2\right) + 376,2 \cdot 0,466^2}{944,7 \cdot 0,257 + 376,2 \cdot 0,466} = 9,84 \pm 0,01 \frac{\text{м}}{\text{с}^2}.$$

#### 4.1.2 Измерение периода колебаний.

Проведем еще 9 измерений. Результаты всех измерений, включая и предварительные, занесем в таблицу 2.

Среднее значение ускорение свободного падения составило  $\bar{g} = 9,809 \frac{\text{м}}{\text{с}^2}$ .

Стандартная ошибка среднего –  $\sigma_{\bar{g}} = 0,004 \frac{\text{м}}{\text{с}^2}$ .

Таким образом, ускорение свободного падения равняется  $g = 9,809 \pm 0,004 \frac{\text{м}}{\text{с}^2}$ .

### 4.2 Обработка данных.

#### 4.2.1 Зависимость периода колебаний от положения груза.

Построим график зависимости периода колебаний  $T$  от положения груза  $y$ . График представлен на рисунке 2.

| №  | $y$ , см       | $x_{\text{ц}}$ , см | $n$ | $t$ , с        | $T$ , с | $g$ , $\frac{\text{М}}{\text{с}^2}$ |
|----|----------------|---------------------|-----|----------------|---------|-------------------------------------|
| 1  | $46,4 \pm 0,1$ | $31,7 \pm 0,1$      | 20  | $29,2 \pm 0,6$ | 1,462   | $9,84 \pm 0,06$                     |
| 2  | $50,9 \pm 0,1$ | $32,9 \pm 0,1$      | 20  | $29,7 \pm 0,6$ | 1,488   | $9,802 \pm 0,06$                    |
| 3  | $55,9 \pm 0,1$ | $34,3 \pm 0,1$      | 20  | $30,3 \pm 0,6$ | 1,517   | $9,80 \pm 0,06$                     |
| 4  | $58,9 \pm 0,1$ | $35,1 \pm 0,1$      | 20  | $30,7 \pm 0,6$ | 1,534   | $9,814 \pm 0,06$                    |
| 5  | $60,9 \pm 0,1$ | $35,7 \pm 0,1$      | 20  | $30,9 \pm 0,6$ | 1,547   | $9,811 \pm 0,06$                    |
| 6  | $57,3 \pm 0,1$ | $34,7 \pm 0,1$      | 20  | $30,5 \pm 0,6$ | 1,525   | $9,808 \pm 0,06$                    |
| 7  | $54,3 \pm 0,1$ | $33,9 \pm 0,1$      | 20  | $30,1 \pm 0,6$ | 1,507   | $9,807 \pm 0,06$                    |
| 8  | $51,3 \pm 0,1$ | $33,0 \pm 0,1$      | 20  | $29,8 \pm 0,6$ | 1,490   | $9,799 \pm 0,06$                    |
| 9  | $48,3 \pm 0,1$ | $32,1 \pm 0,1$      | 20  | $29,4 \pm 0,6$ | 1,473   | $9,811 \pm 0,06$                    |
| 10 | $46,3 \pm 0,1$ | $31,6 \pm 0,1$      | 20  | $29,3 \pm 0,6$ | 1,462   | $9,803 \pm 0,06$                    |

Таблица 2: Массы и длины исследуемых объектов.

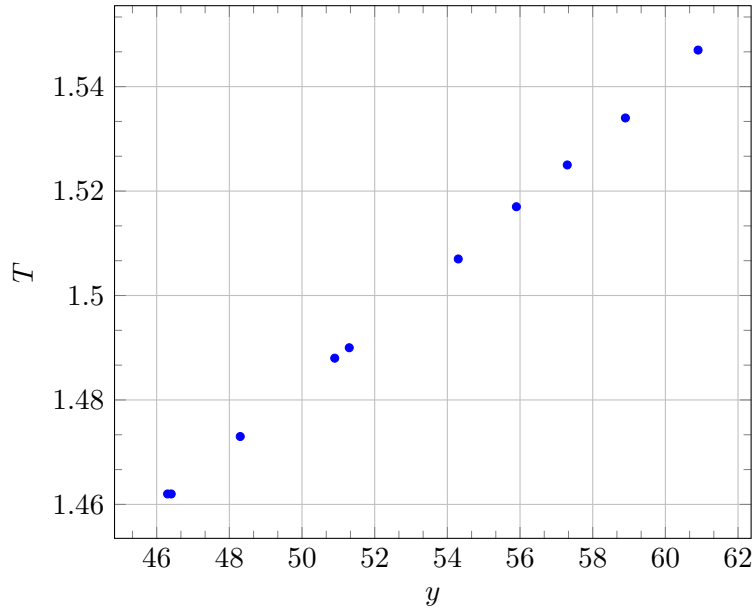


Рис. 2: График зависимости периода колебаний  $T$  от положения груза  $y$ .

#### 4.2.2 Зависимость периода колебаний от положения груза.

Построим график зависимости величины  $T^2 x_{\text{ц}}$  от величины  $y^2$ . График представлен на рисунке 3. Аппроксимируем прямую к прямой ( $T^2 x_{\text{ц}} = a + b(y^2)$ ). Заметим, согласно формуле 6  $a = \frac{4\pi^2 I_0}{(m_0 + m_r)g}$ , а  $b = \frac{4\pi^2 m_r}{(m_0 + m_r)g}$ .

Итак,  $b = \frac{\langle xy \rangle - \langle x \rangle \langle y \rangle}{\langle x^2 \rangle - \langle x \rangle^2} = \frac{0,2175 - 0,2143}{0,08326 - 0,08043} = \frac{32}{28,3} = 1,1307$ .

$$\sigma_b \approx \frac{1}{\sqrt{n}} \sqrt{\frac{\langle y^2 \rangle - \langle y \rangle^2}{\langle x^2 \rangle - \langle x \rangle^2} - b^2} = 0,025.$$

Отсюда  $g = 9,95 \pm 0,23 \frac{\text{М}}{\text{с}^2}$ .

$$a = \langle y \rangle - b \langle x \rangle = 0,7556 - 0,3207 = 0,435.$$

$$\sigma_a = \sigma_b \sqrt{\langle x^2 \rangle - \langle x \rangle^2} = 0,001.$$

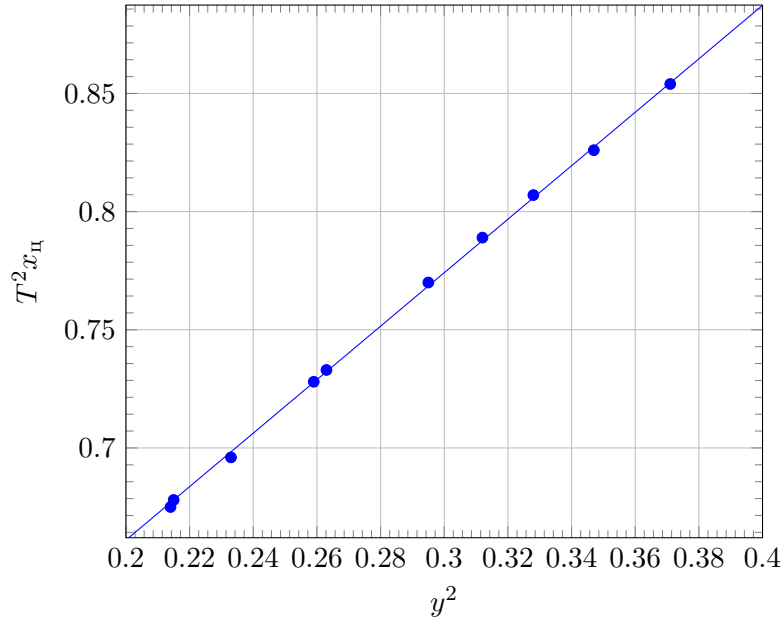


Рис. 3: График зависимости величины  $T^2 x_{\text{ц}}$  от величины  $y^2$ .

## 5 Выводы.

В ходе работы было вычислено значение  $g$  двумя различными способами – методом подсчета для каждого измерения с вычислением среднего и методом аппроксимации к прямой графика  $T^2 x_{\text{ц}}$  от  $y^2$  с нахождением коэффициентов. Первый способ, как и ожидалось, показал большую точность, но для обоих способов реальное табличное значение  $g$  лежит в пределах погрешности.